

ROZDZIAŁ 1

ELEMENTARNY OPIS REZONANSU JĄDROWEGO

1.1. Magnetyczne właściwości jąder

Podstawą spektroskopii magnetycznego rezonansu jądrowego (w skrócie MRJ albo w jęz. angielskim NMR – nuclear magnetic resonance) są magnetyczne właściwości jąder atomów. Wiele jąder ma moment pędu \vec{J} , który powiązany jest z momentem magnetycznym jądra \vec{M} równaniem

$$\vec{M} = \gamma \vec{J} . \quad (1.1)$$

γ jest tu stałą, charakterystyczną dla poszczególnego jądra i nosi nazwę współczynnika magnetogirycznego jądra. Moment magnetyczny \vec{M} jądra może być dodatni lub ujemny względem \vec{J} zależnie od znaku γ (patrz Dodatek).

Zgodnie z teorią kwantów moment pędu \vec{J} , a więc i moment magnetyczny \vec{M} jądra są skwantowane. Dozwolone wartości składowych momentu pędu \vec{J} w kierunku osi Z w dowolnie wybranym układzie współrzędnych XYZ wyznacza równanie

$$J_z = \frac{h}{2\pi} m_l , \quad (1.2)$$

w którym $h/2\pi$ jest stałą Plancka i jest jednostką miary składowej zetowej momentu pędu; m_l jest magnetyczną liczbą kwantową, charakteryzującą odnośny stan stacjonarny (stan własny) jądra. Zgodnie z warunkiem kwantowania

$$m_l = I, (I - 1), \dots, (-I + 1), -I \quad (1.3)$$

magnetyczne liczby kwantowe m_l związane są ze spinową liczbą kwantową jądra I . Całkowita liczba możliwych stanów własnych jądra wynosi zatem $(2I + 1)$. Maksymalna zetowa składowa momentu pędu, w jednostkach $h/2\pi$, jest równa I . Liczba I nosi nazwę spinu jądra.

Jądra o spinie $I \geq 1$ mają elektryczne momenty kwadrupolowe (patrz Dodatek). Moment kwadrupolowy Q jest miarą eliptyczności rozkładu elektrycznego ładunku w jądrze [1.6-1.8]. Elektryczny moment kwadrupolowy jądra może być dodatni lub ujemny/ Jądra w kształcie wydłużonej elipsoidy odpowiada Q dodatnie, zaś jądra w kształcie spłaszczonej elipsoidy odpowiada Q ujemne. Jądra o spinie $I = 1/2$ mają zerowe elektryczne kwadrupolowe momenty.

1.2. Klasyczny opis magnetycznego rezonansu

1.2.1. Twierdzenie Larmora

Twierdzenie Larmora brzmi: w jednorodnym polu magnetycznym \vec{B}_0 wektor \vec{M} momentu magnetycznego obraca się – zachowując stałą wartość kąta swego nachylenia względem \vec{B}_0 - dookoła kierunku \vec{B}_0 z prędkością kątową ω_0 równą

$$\omega_0 = |\gamma| B_0 , \quad (1.4)$$

gdzie γ jest współczynnikiem magnetogirycznym.

Dowód twierdzenia Larmora opiera się na następujących twierdzeniach fizyki klasycznej:

1. Szybkość zmiany momentu pędu układu jest równa momentowi obrotowemu działającemu na układ

$$\frac{d\vec{J}}{dt} = \vec{C} , \quad (1.5)$$

gdzie $\vec{C} = [\vec{r} \times \vec{F}]$ - moment obrotowy (moment siły).

2. W polu magnetycznym \vec{B}_0 moment obrotowy \vec{C} działający na moment magnetyczny \vec{M} jest równy:

$$\vec{C} = [\vec{M} \times \vec{B}_0] . \quad (1.6)$$

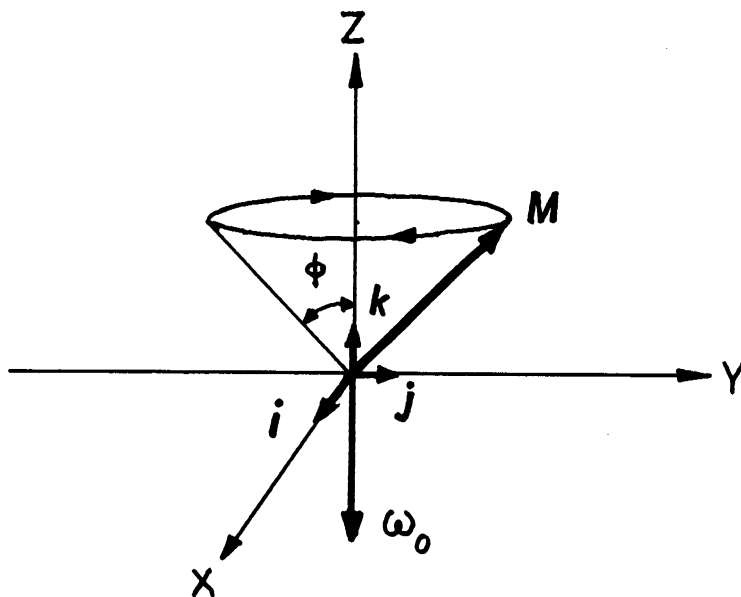
Podstawiając (1.6) do równania (1.5) i uwzględniając związek (1.1) znajdujemy równanie ruchu dla wektora momentu magnetycznego \vec{M} :

$$\frac{d\vec{M}}{dt} = [\vec{M} \times (\gamma \vec{B}_0)] . \quad (1.7)$$

Niech moment magnetyczny \vec{M} jest umieszczony w statycznym polu magnetycznym

$$\vec{B}_0 = 0 \cdot \vec{i} + 0 \cdot \vec{j} + B_0 \cdot \vec{k} , \quad (1.8)$$

gdzie $\vec{i}, \vec{j}, \vec{k}$ - wektory jednostkowe wzdłuż odpowiednio osi X, Y, Z (rys.1.1).



Rys.1.1. Wektor momentu magnetycznego \vec{M} wykonuje precesję dookoła statycznego pola magnetycznego \vec{B}_0 z częstością Larmora $\omega = |\gamma| \cdot B_0$

Podstawiając (1.8) do równania (1.7) otrzymujemy

$$\frac{d\vec{M}}{dt} = \begin{vmatrix} \vec{i} & \vec{j} & \vec{k} \\ M_X & M_Y & M_Z \\ 0 & 0 & \gamma B_0 \end{vmatrix} = (\gamma B_0)(M_Y \vec{i} - M_X \vec{j}) \quad (1.9)$$

czyli

$$\frac{dM_X}{dt} = \gamma B_0 M_Y , \quad \frac{dM_Y}{dt} = -\gamma B_0 M_X , \quad \frac{dM_Z}{dt} = 0 . \quad (1.10)$$

Rozwiązanie układu równań różniczkowych (1.10) poszukujemy w postaci

$$M_X = A \cdot \cos(\omega_0 t) , \quad M_Y = -A \cdot \sin(\omega_0 t) , \quad M_Z = B , \quad (1.11)$$

gdzie A i B są stałymi wielkościami niezależnymi od czasu.

Podstawiając (1.11) do układu równań (1.10) znajdujemy, że

$$\omega_0 = \gamma B_0 .$$

Jeżeli w czasie $t = 0$ wektor \vec{M} ma składowe $M_x(0) = M_0 \cdot \sin\phi$, $M_y(0) = 0$, $M_z = M_0 \cdot \cos\phi$ (rys.1.1), to z równań (1.11) otrzymujemy

$$M_x = M_0 \sin\phi \cdot \cos(\omega_0 t), \quad M_y = -M_0 \sin\phi \cdot \sin(\omega_0 t), \quad M_z = M_0 \cos\phi . \quad (1.12)$$

Prędkość kątową ω_0 możemy, jak wiemy z mechaniki klasycznej, przedstawić osiowym wektorem $\vec{\omega}_0$. Z równań (1.12) wynika, że

$$\vec{\omega}_0 = -\gamma \vec{B}_0 . \quad (1.13)$$

A więc przy $\gamma > 0$ wektor $\vec{\omega}_0$ ma przeciwny kierunek względem wektora \vec{B}_0 , zaś przy $\gamma < 0$ wektor $\vec{\omega}_0$ ma taki sam kierunek co i wektor \vec{B}_0 . Częstość ω_0 nosi nazwę częstości Larmora.

Ćwiczenia do § 1.2.1

1. Wyprowadzić wzór (1.5).
2. Wyprowadzić wzór (1.6).
3. Udowodnić wzór (1.13).
4. Stosując współczynniki magnetogyryczne γ , przedstawione w Dodatku, obliczyć liniowe częstości Larmora dla jąder $^1H, ^{19}F, ^7Li$ i ^{23}Na w polu magnetycznym B_0 o wartości 1 T.

Wskazówka: liniowa częstość Larmora ν_0 powiązana jest z kątową częstością ω_0 równaniem

$$\nu_0 = \frac{\omega_0}{2\pi} = \frac{|\gamma| B_0}{2\pi} .$$

1.2.2. Wirujący układ współrzędnych. Efektywne pole magnetyczne

Z twierdzenia Larmora wynika, że ruchem wektora \vec{M} jest precesja dookoła osi Z ($\vec{B}_0 \parallel \vec{k}$), a więc w układzie współrzędnych obracającym się wokół kierunku \vec{k} prędkością kątową ω_0 wektor \vec{M} musi mieć stałe położenie w przestrzeni. Udowodnimy to twierdzenie.

Oznaczmy przez xyz osie układu współrzędnych obracającego się wokół osi Z laboratoryjnego (stałego) układu odniesienia z prędkością kątową $\vec{\omega}$ ($\vec{\omega} \neq \vec{\omega}_0$). Zgodnie z twierdzeniem mechaniki klasycznej, szybkość zmiany momentu pędu w wirującym układzie

współrzędnych związana jest ze zmianą momentu pędu w stałym układzie współrzędnych równaniem

$$\left(\frac{d\vec{J}}{dt}\right)_{rot} = \left(\frac{d\vec{J}}{dt}\right)_{lab} + [\vec{J} \times \vec{\omega}] . \quad (1.14)$$

Uwzględniając (1.1) i (1.7), z równania (1.14) znajdujemy

$$\begin{aligned} \left(\frac{d\vec{M}}{dt}\right)_{rot} &= \left(\frac{d\vec{M}}{dt}\right)_{lab} + [\vec{M} \times \vec{\omega}] = \\ &= [\vec{M} \times (\gamma\vec{B}_0 + \vec{\omega})] . \end{aligned} \quad (1.15)$$

Czyli

$$\left(\frac{d\vec{M}}{dt}\right)_{rot} = [\vec{M} \times (\gamma\vec{B}_{ef})] , \quad (1.16)$$

gdzie

$$\vec{B}_{ef} = \vec{B}_0 + \left(\frac{\omega}{\gamma}\right) . \quad (1.17)$$

Z równań (1.16) i (1.17) wynika, że wprowadzenie wirującego układu współrzędnych jest równoważne zastąpieniu pola magnetycznego \vec{B}_0 polem efektywnym \vec{B}_{ef} .

Jeśli $\vec{\omega} = \vec{\omega}_0 = -\gamma\vec{B}_0$, to z równania (1.16) mamy

$$\left(\frac{d\vec{M}}{dt}\right)_{rot} = 0 .$$

Więc w wirującym układzie współrzędnych wektor \vec{M} zachowuje stałe położenie, jeżeli wektor $\vec{\omega}$ jest równy wektorowi Larmora $\vec{\omega}_0 = -\gamma\vec{B}_0$.

Ćwiczenia do § 1.2.2

1. Wyprowadzić wzór (1.14).
2. W rzeczywistości stałe zewnętrzne pole magnetyczne \vec{B}_0 istnieje zarówno w laboratoryjnym, jak i w rotującym układzie odniesienia. Wy tłumaczyć fakt „zanikania” magnetycznego pola w wirującym układzie współrzędnych z punktu widzenia mechaniki klasycznej.

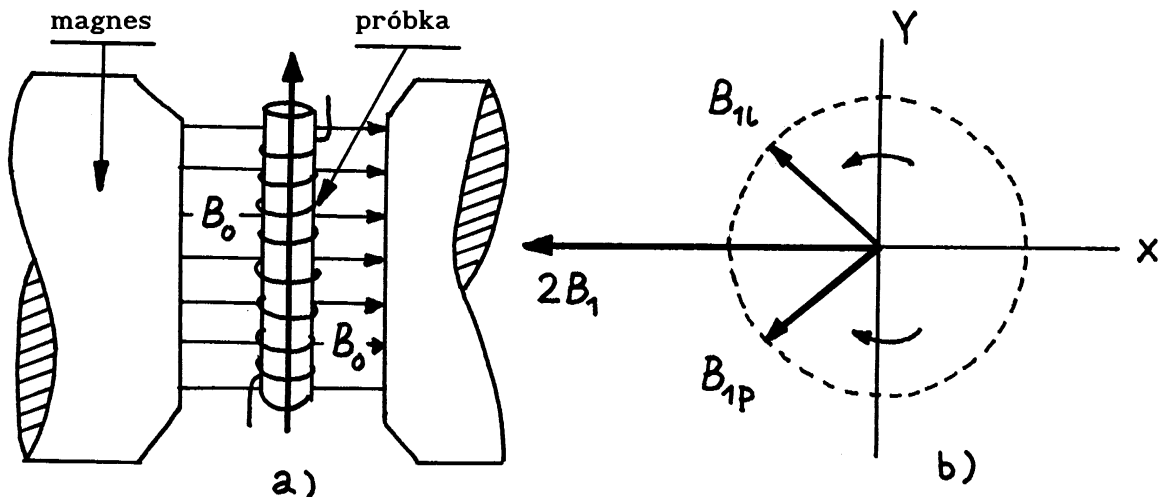
1.2.3. Zjawisko magnetycznego rezonansu

Niech oprócz efektywnego pola (1.17) w wirującym układzie współrzędnych istnieje stacjonarne pole magnetyczne \vec{B}_1 skierowane prostopadle do stałego pola \vec{B}_0 . Wtedy dla wypadkowego efektywnego pola magnetycznego w wirującym układzie współrzędnych otrzymujemy

$$\vec{B}_{ef} = \vec{B}_0 + \left(\frac{\vec{\omega}}{\gamma} \right) + \vec{B}_1 = \vec{B}_0 \left(1 - \frac{\omega}{\omega_0} \right) + \vec{B}_1. \quad (1.18)$$

Tu uwzględniliśmy, że $\vec{\omega} \parallel \vec{\omega}_0$ i $\vec{\omega}_0 = -\gamma \vec{B}_0$.

W stacjonarnym (laboratoryjnym) układzie odniesienia wektor pola magnetycznego \vec{B}_1 obraca się wokół statycznego pola magnetycznego \vec{B}_0 z prędkością kątową $\vec{\omega}$. W praktyce pole \vec{B}_1 wytwarza się umieszczając cewkę wzdłuż osi prostopadłej do \vec{B}_0 (rys.1.2a).



Rys.1.2. Schematyczne przedstawienie układu służącego do doświadczeń z rezonansem magnetycznym

Zmienne pole magnetyczne w cewce o częstotliwości ω i amplitudzie $2B_1$ jest spolaryzowane liniowo. To pole można przedstawić za pomocą dwóch wektorów magnetycznych \vec{B}_{1l} i \vec{B}_{1p} (rys.1.2b), wirujących w przeciwnych kierunkach. Jeden z nich wiruje w pożądanym kierunku, tj. w tym kierunku co wirujący układ współrzędnych, natomiast drugi nie wywiera praktycznie żadnego wpływu na moment magnetyczny.

Zgodnie z twierdzeniem Larmora w wirującym układzie współrzędnych moment magnetyczny \vec{M} precesuje wokół osi równoległej do pola \vec{B}_{ef} z prędkością kątową

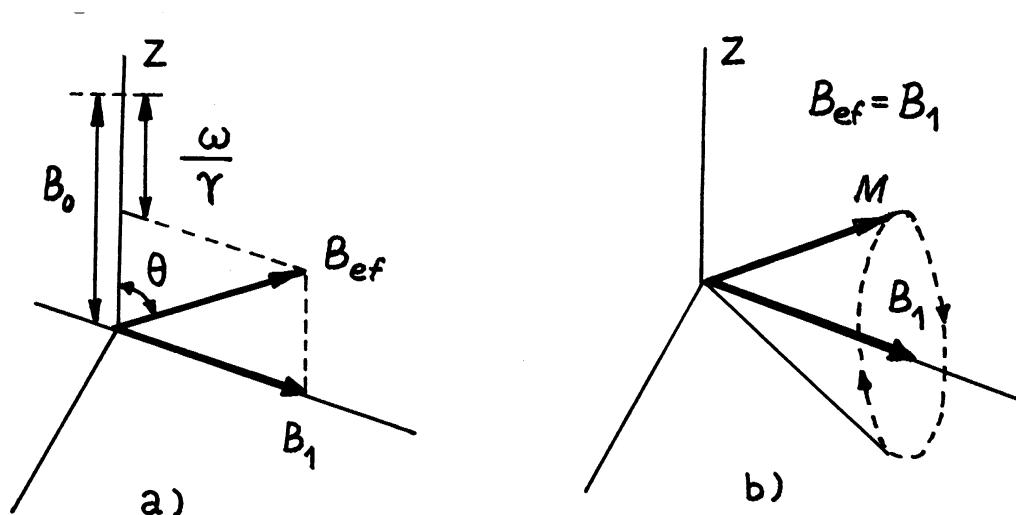
$$\vec{\omega}_{ef} = |\gamma| \vec{B}_{ef} . \quad (1.19)$$

Pole \vec{B}_{ef} tworzy z osią Z kąt θ (rys.1.3)

$$tg\theta = \frac{B_1}{B_0 \left(1 - \frac{\omega}{\omega_0} \right)} . \quad (1.20)$$

Przypuśćmy, że pod względem natężenia $B_0 \gg B_1$.

1. Jeżeli ω_0 i ω różnią się znacznie, to pole efektywne jest równoległe do osi Z , ponieważ $tg\theta \approx 0$, czyli $\theta \approx 0^\circ$ lub $\theta \approx 180^\circ$.



Rys.1.3. Efektywne pole magnetyczne \vec{B}_{ef} w wirującym układzie współrzędnych (a) i precesja momentu magnetycznego \vec{M} w przypadku magnetycznego rezonansu (b)

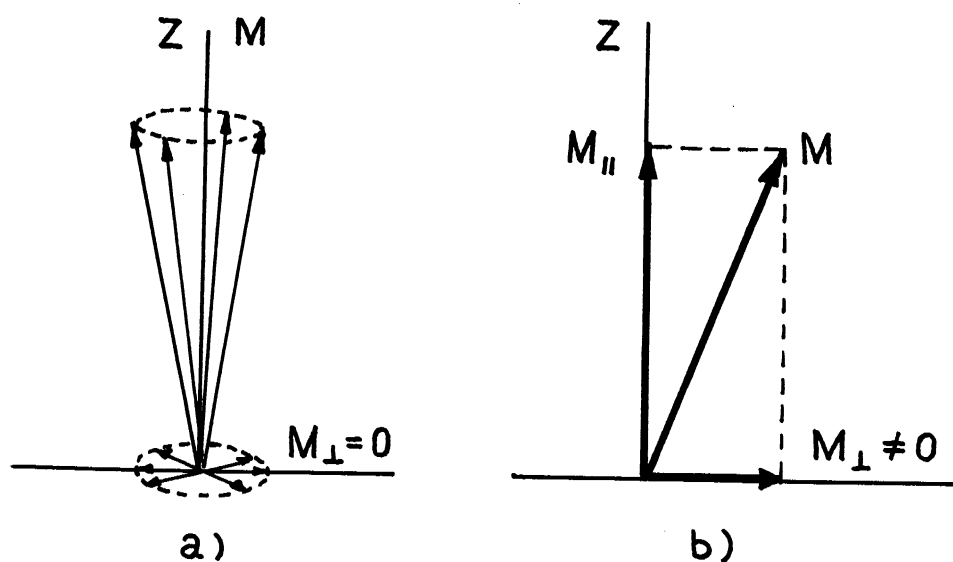
2. Gdy $\omega \approx \omega_0$, $tg\theta \rightarrow \infty$ i $\theta \approx 90^\circ$, wówczas $\vec{B}_{ef} \approx \vec{B}_1$ i wektor \vec{M} wiruje z prędkością kątową $\vec{\omega}_1 = -\gamma \vec{B}_1$ wokół \vec{B}_1 . Ponieważ $B_0 \gg B_1$, to przy $\omega = \omega_0$ mamy do czynienia z typowym zjawiskiem rezonansowym, gdyż nieznaczne, periodyczne zaburzenie układu o częstotliwości rezonansowej wywołuje w nim znaczne zmiany.

Ćwiczenia do § 1.2.3

1. Wykazać, że spolaryzowane liniowo zmienne pole magnetyczne można przedstawić jako sumę dwóch wektorów magnetycznych \vec{B}_{1l} i \vec{B}_{1p} , wirujących w przeciwnych kierunkach.
2. Przy $t = 0$ wektor \vec{M} jest równoległy do \vec{B}_0 . W chwili $t = 0$ na moment magnetyczny \vec{M} zaczyna działać zmienne liniowo spolaryzowane pole o częstości $\omega_0 = |\gamma|B_0$. Jaki będzie ruch wektora \vec{M} w laboratoryjnym układzie odniesienia.

1.2.4. Rezonans w próbce makroskopowej. Namagnesowanie poprzeczne i podłużne

Po włączeniu pola magnetycznego \vec{B}_0 w próbce dochodzi do ustalenia się równowagowego. Makroskopowy wektor namagnesowania (będziemy oznaczali ten wektor też literą \vec{M}) jest geometryczną sumą poszczególnych momentów magnetycznych jąder zawartych w jednostce objętości próbki. Ponieważ momenty magnetyczny jądro wirują niezgodnie w fazie, nie istnieje składowa namagnesowania \vec{M}_\perp w płaszczyźnie prostopadłej do \vec{B}_0 (rys.1.4a).



Rys.1.4. Powstawanie namagnesowania poprzecznego i podłużnego

W przypadku rezonansu ($\omega = \omega_0$) nastąpi odchylenie wektora \vec{M} od podłużnej pozycji o dodatkowo pojawi się namagnesowanie poprzeczne \vec{M}_\perp (rys.1.4b), które w stacjonarnym układzie współrzędnych będzie wirowało wokół osi Z . Tak więc w laboratoryjnym układzie odniesienia namagnesowanie poprzeczne będzie zmienne w czasie i będzie można je zarejestrować za pomocą odbiornika (cewka + amperomierz) umieszczonego w płaszczyźnie prostopadłej do \vec{B}_0 (rys.1.3).

Ćwiczenie do § 1.2.4

Przy spełnieniu warunku rezonansu, wirujące wokół \vec{B}_0 z częstością ω_0 namagnesowanie \vec{M} indukuje, zgodnie z prawem Faradaya, siłę elektromotoryczną w cewce obwodu drgającego. Wykazać, że jeżeli oś cewki jest równoległa do osi Y laboratoryjnego układu odniesienia, to siła elektromotoryczna wynosi

$$E = -\mu_0 \cdot n \cdot S \cdot \frac{d}{dt} M_Y .$$

Tu S - pole powierzchni przekroju cewki, n - liczba zwojów cewki, μ_0 - przenikalność magnetyczna próżni, M_Y - składowa wektora namagnesowania \vec{M} wzdłuż osi Y .

1.2.5. Relaksacja spin-sieć i spin-spin. Równania Blocha

Ustalenie się równowagowego namagnesowania \vec{M}_\parallel po włączeniu stałego pola magnetycznego \vec{B}_0 wymaga czasu T_1 . Bloch założył, że zmianę podłużnej (zetowej) składowej namagnesowania makroskopowego wyraża równanie [1.11, 1.12]

$$\frac{dM_Z}{dt} = \frac{(M_0 - M_Z)}{T_1} . \quad (1.21)$$

Tu T_1^{-1} jest stałą szybkości przejścia układu zaburzonego w stan równowagi ($|\vec{M}| = M_0$). Energia układu momentów magnetycznych jąder jest przy tym oddawana do otoczenia jąder, czyli do „sieci”. Proces ten nazywamy relaksacją podłużną albo relaksacją spin-sieć.

Z klasycznego opisu zjawiska MRJ wynika, że oprócz namagnesowania podłużnego istnieje także namagnesowanie poprzeczne, tj. w płaszczyźnie prostopadłej do \vec{B}_0 . Okazuje się, że zależność składowych namagnesowania $M_{X,Y}$ od czasu można opisać równaniem

$$\frac{dM_{X,Y}}{dt} = - \frac{M_{X,Y}}{T_2}, \quad (1.22)$$

gdzie T_2 nazywa się czasem relaksacji poprzecznej albo czasem relaksacji spin-sieć, ponieważ jest to proces przenoszenia energii pomiędzy poszczególnymi magnetycznymi momentami (spinami).

Po uwzględnieniu równania ruchu (1.7) znajdujemy zmodyfikowane równania, które noszą nazwę równań Blocha [1.11,1.12]

$$\begin{aligned} \frac{dM_X}{dt} &= \gamma [\vec{M} \times \vec{B}]_X - \frac{M_X}{T_2}, \\ \frac{dM_Y}{dt} &= \gamma [\vec{M} \times \vec{B}]_Y - \frac{M_Y}{T_2}, \\ \frac{dM_Z}{dt} &= \gamma [\vec{M} \times \vec{B}]_Z + \frac{M_0 - M_Z}{T_1}, \end{aligned} \quad (1.23)$$

czyli w wektorowej postaci

$$\frac{d\vec{M}}{dt} = \gamma [\vec{M} \times \vec{B}] - \frac{1}{T_1} (M_Z - M_0) \vec{k} - \frac{1}{T_2} (M_X \vec{i} + M_Y \vec{j}). \quad (1.24)$$

Ćwiczenia do § 1.2.5

1. Wykazać, że rozwiązanie równania (1.21) ma postać ($M_Z(0) = 0$)

$$M_Z(t) = M_0 (1 - e^{-t/T_1}).$$

2. Wykazać, że rozwiązanie równania (1.22) ma postać

$$M_{X,Y}(t) = M_{X,Y}(0) \cdot \exp(-t/T_2).$$

1.2.6. Metoda fali ciągłej

Warunek rezonansu ($\omega_0 = |\gamma| B_0$) można spełnić doświadczalnie dwoma sposobami: zmieniając częstość nadajnika przy stałej indukcji B_0 pola magnetycznego (przemiatanie częstością) albo też zmieniając indukcję pola B_0 przy zachowaniu stałej częstości nadajnika (przemiatanie polem). Oba sposoby są stosowane w praktyce.

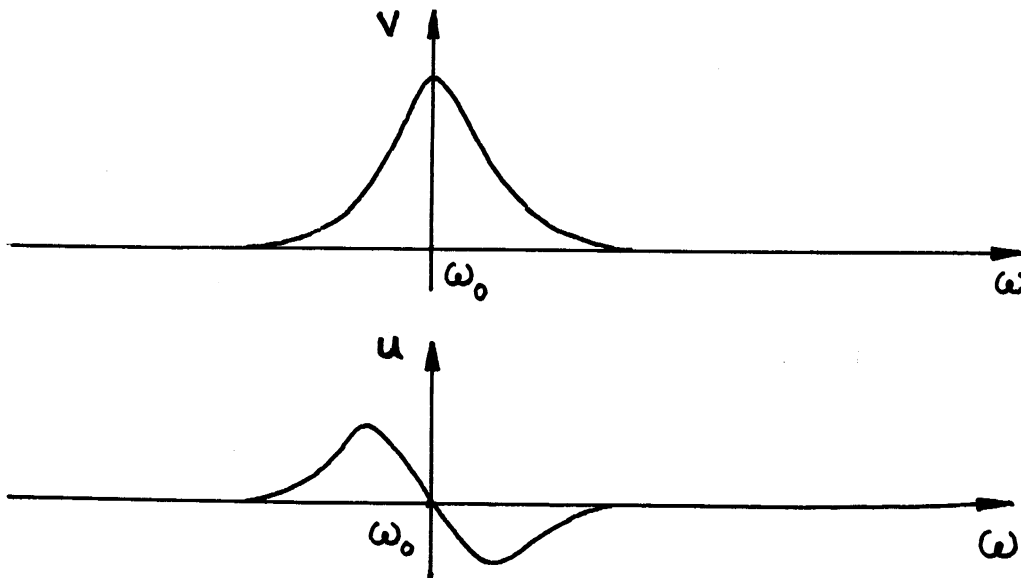
Dla małej amplitudy pola radiowego \vec{B}_1 i przy zmianie pola B_0 (albo częstotliwości ω) tak, żeby w każdej chwili wektor namagnesowania \vec{M} w wirującym układzie współrzędnych był równoległy do \vec{B}_{ef} (przemiatanie adiabatyczne), mamy

$$\frac{dM_x}{dt} = \frac{dM_y}{dt} = \frac{dM_z}{dt} = 0 . \quad (1.25)$$

Ponieważ w wirującym układzie współrzędnych efektywne pole magnetyczne \vec{B}_{ef} ma składowe: $(B_{ef})_x = B_1$, $(B_{ef})_y = 0$, $(B_{ef})_z = (\omega - \omega_0)/|\gamma|$, to równania Blocha w tym układzie współrzędnych mają postać

$$\begin{aligned} \frac{dM_x}{dt} &= \Delta \cdot M_y - \frac{M_x}{T_2} , \\ \frac{dM_y}{dt} &= -\Delta \cdot M_x - \omega_1 M_z - \frac{M_y}{T_2} , \\ \frac{dM_z}{dt} &= \omega_1 M_y - \frac{(M_z - M_0)}{T_1} , \end{aligned} \quad (1.26)$$

gdzie $\Delta = \omega_0 - \omega$; $\omega_1 = -\gamma B_1$.



Rys.1.5. Sygnał absorpcji (v) i sygnał dyspersji (u)

Rozwiązanie układu równań (1.26), przy warunkach (1.25), ma postać

$$M_x = -M_0 \omega_1 \frac{\Delta \cdot T_2^2}{1 + \omega_1^2 T_1 T_2 + \Delta^2 T_2^2}, \quad (1.27)$$

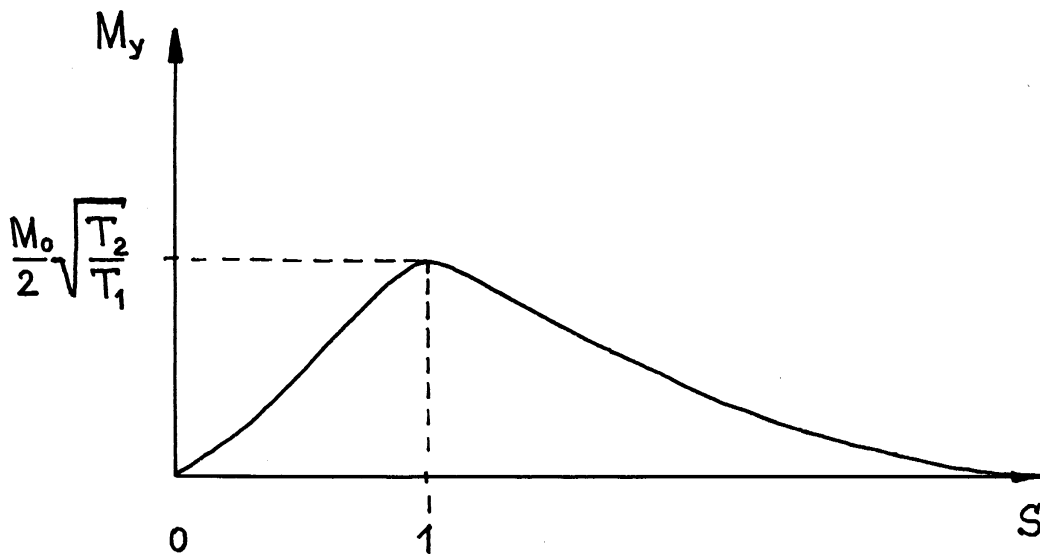
$$M_y = -M_0 \omega_1 \frac{T_2}{1 + \omega_1^2 T_1 T_2 + \Delta^2 T_2^2}, \quad (1.28)$$

$$M_z = M_0 \frac{1 + \Delta^2 \cdot T_2^2}{1 + \omega_1^2 T_1 T_2 + \Delta^2 T_2^2}. \quad (1.29)$$

W stałym układzie współrzędnych wektor namagnesowania \vec{M} obraca się wokół osi Z i w tym układzie wektor \vec{M} ma składowe

$$\begin{aligned} M_x &= M_x \cos(\omega t) - M_y \sin(\omega t), \\ M_y &= M_x \sin(\omega t) + M_y \cos(\omega t), \\ M_z &= M_z, \end{aligned} \quad (1.30)$$

gdzie M_x , M_y i M_z są składowymi wektora namagnesowania \vec{M} w wirującym układzie współrzędnych.



Rys.1.6. Zależność natężenia sygnału absorpcji $v(\omega_0)$ od współczynnika nasycenia S

Sygnał MRJ, który jest proporcjonalny do M_x nosi nazwę sygnału dyspersji (u).
 Sygnał MRJ proporcjonalny do M_y nazywa się sygnałem absorpcji (v) (rys.1.5).

Doświadczalnie sygnały dyspersji i absorpcji można rozróżnić za pomocą urządzeń zwanymi mostkami wysokiej częstotliwości albo za pomocą urządzenia kompensującego, zwanego głowicą Blocha.

Z równań (1.28) wynika, że przy $\omega = \omega_0$ (centrum widma absorpcji)

$$v(\omega_0) \sim M_0 T_2 \frac{\omega_1}{1 + \omega_1^2 T_1 T_2} . \quad (1.31)$$

Wykres zależności $v(\omega_0)$ od współczynnika $S = \omega_1^2 T_1 T_2$ ma postać przedstawioną na rys.1.6.

Przy $S \gg 1$ ze wzoru (1.31) otrzymujemy

$$v(\omega_0) \sim \frac{M_0}{\gamma B_1 T_1} . \quad (1.32)$$

Jak widać ze wzoru (1.32) długi czas relaksacji spin-sieć T_1 i duża amplituda pola radiowego B_1 powodują zmniejszenie natężenie sygnału absorpcji. To zjawisko zmniejszenia amplitudy sygnału absorpcji przy zwiększeniu T_1 albo B_1 nosi nazwę nasycenia linii rezonansowej.

Zwykle w praktyce stosuje się różne metody, żeby współczynnik nasycenia S spełniał warunek $S \ll 1$. W tym przypadku, jak wynika z równań (1.27)-(1.29), sygnały absorpcji i dyspersji są równe

$$v(\Delta) \sim \frac{\omega_1 \cdot T_2}{1 + \Delta^2 T_2^2} , \quad (1.33)$$

$$u(\Delta) \sim \frac{\omega_1 \cdot \Delta \cdot T_2^2}{1 + \Delta^2 T_2^2} . \quad (1.34)$$

Ćwiczenie do § 1.2.6

1. Warunek adiabaty czności zmiany pola magnetycznego ma postać

$$\frac{d\theta}{dt} \ll \omega_{ef} .$$

Tu θ - kąt między \vec{B}_0 i \vec{B}_{ef} (patrz rys.1.3).

Wyprowadzić ten warunek.

2. Wykazać, że warunek przemiatania adiabaty cznego możemy zapisać w postaci

$$\frac{dB_0}{dt} \ll \frac{\omega_{ef}}{\sin\theta} B_{ef} .$$

Wskazówka; ze wzoru (1.20) wynika, że

$$\begin{aligned} \frac{d(\operatorname{tg}\theta)}{dt} &= \frac{1}{\cos^2\theta} \cdot \frac{d\theta}{dt} = \\ &= \frac{1}{\cos^2\theta} \cdot \frac{B_1}{B_{ef}^2} \frac{dB_0}{dt} . \end{aligned}$$

Skąd

$$\frac{d\theta}{dt} = \frac{dB_0}{dt} \cdot \frac{\sin\theta}{B_{ef}} .$$

3. Udowodnić wzory (1.27), (1.28) i (1.29).

4. Wykazać, że krzywa (1.31) ma maksimum przy $S = 1$.

5. Przy spełnieniu warunku rezonansu układ magnetycznych momentów pochłania energię przyłożonego zmiennego pola magnetycznego $\vec{B}_1 \cdot \cos\omega_0 t$ ($\vec{B}_1 \parallel \vec{i}$). Moc energii absorbowanej opisuje wzór

$$P = - \frac{dE}{dt} = \frac{d}{dt} (\vec{M} \cdot \vec{B}_1) .$$

Wykazać, że

$$P \sim \nu (\Delta) .$$

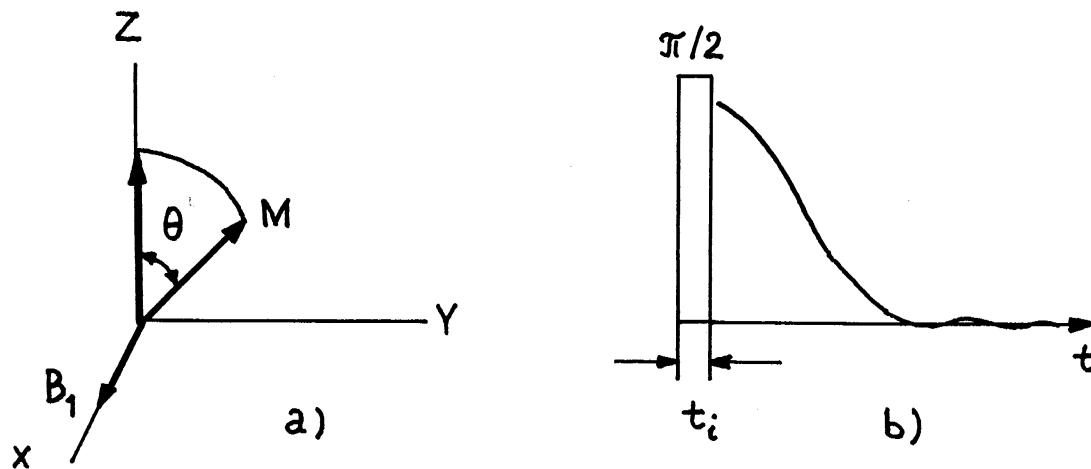
Wskazówka: wektor $d\vec{B}_1/dt$ w wirującym układzie współrzędnych ma składowe

$$\left(\frac{dB_1}{dt} \right)_x = 0 , \quad \left(\frac{dB_1}{dt} \right)_y = -\omega_0 B_1 , \quad \left(\frac{dB_1}{dt} \right)_z = 0 .$$

1.2.7. Spektroskopia impulsowa

Opis eksperymentu MRJ odnosił się do tej pory do przypadku, w którym do wzbudzenia układu momentów magnetycznych stosowano słabe pole radiowe \vec{B}_1 (rzędu kilkudziesięciu nanotesli). W spektroskopii impulsowej stosuje się silne pole \vec{B}_1 ($\omega_1^2 \gg (T_1 T_2)^{-1}$). Aby uniknąć całkowitego nasycenia, takie silne pole może działać na układ momentów magnetycznych tylko przez bardzo krótki czas, tj. $t_i \ll T_1, T_2$, gdzie t_i - czas

działania silnego pola \vec{B}_1 . Pola spełniające te warunki nazywamy impulsami o częstotliwości radiowej lub impulsami radiowymi.



Rys.1.7. Impuls θ^0 wywołuje obrót wektora \vec{M} wokół \vec{B}_1 o kąt θ^0 (a).

Impuls 90^0 powoduje pojawienie się w cewce odbiornika sygnału MRJ (b).

Niech częstotść impulsu radiowego jest równa ω_0 ($\Delta = 0$). W tym przypadku w obracającym się z prędkością kątową $\omega_0 = \gamma B_0$ układzie współrzędnych $\vec{B}_{ef} = \vec{B}_1$ i moment magnetyczny, jak widzieliśmy w rozdziale 1.2.3, precesuje wokół \vec{B}_1 z prędkością kątową $\vec{\omega}_1 = -\gamma \vec{B}_1$.

Jeżeli w czasie $t = 0$ mieliśmy $M_x = M_y = 0$ i $M_z = M_0$, to kąt odchylenia θ^0 wektora \vec{M} od osi Z w chwili t_i jest określony zależnością

$$\theta = \omega_1 t_i,$$

gdzie $\omega_1 = \gamma B_1$ jest amplitudą impulsu, a t_i jest jego szerokością.

Pola radiowe wywołujące odchylenie wektora \vec{M} od osi Z ($\vec{B}_0 \parallel \vec{k}$) o kąt θ^0 nazywamy impulsami θ^0 . W przypadku impulsu $\pi/2$ ($\theta = 90^0$) wektor \vec{M} w czasie $t = t_i = \pi/2\omega_1$ całkowicie znajduje się w płaszczyźnie prostopadłej do \vec{B}_0 . W rezultacie w cewce odbiornika umieszczonej wzdłuż osi Y (albo X) stałego układu odniesienia pojawia się zmienne napięcie spadające, zgodnie z równaniami Blocha (1.26), jako $\exp(-t/T_2)$, gdzie T_2 jest czasem relaksacji poprzecznej. Więc zjawisko magnetycznego rezonansu możemy

obserwować i badać nie tylko metodą fali ciągłej, ale również metodą impulsową [1.2,1.3,1.4,1.11].

Ćwiczenia do § 1.2.7

1. Impuls 90° ma szerokość $10^{-6}s$ ($1\mu s$). Obliczyć indukcję B_1 pola radiowego dla jąder 1H i ^{19}F .
2. Indukcja pola radiowego B_1 jest równa $10^{-3}T$. Obliczyć szerokość impulsu 180° dla jąder 2H i 7Li .

1.2.8. Sygnał precesji swobodnej i widmo MRJ

Rozpatrzmy teraz najprostszy impulsowy eksperyment wykorzystując równania Blocha.

Niech w chwili $t = 0$ na układ magnetycznych momentów działa impuls θ^0 ($\vec{B}_1 \parallel \vec{i}$). Po działaniu radiowego impulsu makroskopowy magnetyczny moment ma składowe

$$M_x = 0, \quad M_y = M_0 \sin\theta, \quad M_z = M_0 \cos\theta. \quad (1.35)$$

Dalszy ruch wektora \vec{M} , zgodnie z (1.23), opisuje układ równań Blocha

$$\begin{aligned} \frac{dM_x}{dt} &= \omega_0 \cdot M_y - \frac{M_x}{T_2}, \\ \frac{dM_y}{dt} &= -\omega_0 \cdot M_x - \frac{M_y}{T_2}, \\ \frac{dM_z}{dt} &= -\frac{(M_z - M_0)}{T_1}. \end{aligned} \quad (1.36)$$

Łatwo sprawdzić, że rozwiązanie tych równań ma postać

$$\begin{aligned} M_x &= -M_0 \sin\theta \sin\omega_0 t \exp(-t/T_2), \\ M_y &= M_0 \sin\theta \cos\omega_0 t \exp(-t/T_2), \\ M_z &= M_0 [1 - (1 - \cos\theta) \exp(-t/T_1)]. \end{aligned} \quad (1.37)$$

Jeżeli oś cewki odbiornika jest umieszczona na osi X laboratoryjnego układu współrzędnych, to, zgodnie z prawem indukcji Faradaya, zmienna w czasie poprzeczna składowa makroskopowego momentu magnetycznego wywołuje powstawanie w cewce siły

elektromotorycznej, wielkość której (patrz ćwiczenie do § 1.2.4) będzie proporcjonalna do dM_x/dt , czyli

$$E \sim (M_0 \omega_0 \mu_0 \sin \theta) \cdot \cos \omega_0 t \cdot \exp(-t/T_2) . \quad (1.38)$$

Dla rejestracji impulsowego sygnału MRJ zwykle stosuje się następującą metodę: sygnał (1.38) dzieli się na dwie części i każda część przechodzi przez swój wzmacniacz, w którym sygnały sumują się z mocnymi sygnałami radiowymi o częstotliwości $\omega = \omega_0 - \delta$. Faza sygnału radiowego w pierwszym wzmacniaczu jest przesunięta o 90° względem fazy sygnału drugiego wzmacniacza. Na wyjściu pierwszego wzmacniacza sygnał wypadkowy ma postać

$$V_1 = A \cos \omega t + b \cos \omega_0 t , \quad (1.39)$$

gdzie

$$b \sim M_0 \omega_0 \mu_0 \sin \theta \cdot \exp(-t/T_2)$$

i $A \gg b$.

Na wyjściu drugiego wzmacniacza sygnał ma postać

$$V_2 = -A \sin \omega t + b \cos \omega_0 t . \quad (1.40)$$

Uwzględniając, że $\omega_0 = \omega + \delta$, wzory (1.39) i (1.40) możemy zapisać w postaci

$$V_1 = (A + b \cos \delta t) \cos \omega t - b \sin \delta t \sin \omega t , \quad (1.41)$$

$$V_2 = -(A + b \sin \delta t) \sin \omega t + b \cos \delta t \cos \omega t . \quad (1.42)$$

Ponieważ $A \gg b$, to pierwsze wyrazy w (1.41) i (1.42) w bardzo dobrym przybliżeniu opisują sygnały V_1 i V_2 .

Po wzmocnieniu sygnałów i demodulacji sygnały V_1 i V_2 transformują się w sygnały F_1 i F_2

$$F_1 = M_0 \sin \theta \exp(-t/T_2) \cos \delta t ,$$

$$F_2 = M_0 \sin \theta \exp(-t/T_2) \sin \delta t .$$

Dogodnie jest zapisać sumę sygnałów F_1 i F_2 w postaci urojonego „sygnału” $F(t)$

$$\begin{aligned} F(t) &= F_1(t) + F_2(t) = \\ &= M_0 \sin \theta \exp(-t/T_2) \exp(i\delta t) . \end{aligned} \quad (1.43)$$

Sygnal $F(t)$ nosi nazwę sygnału precesji swobodnej (w jęz. angielskim – free induction decay (FID)).

Po transformacji Fouriera sygnału $F(t)$ otrzymujemy

$$\begin{aligned} g(\Delta) &= \int_0^{\infty} F(t) \exp(-i\Delta t) dt = \\ &= M_0 \sin\theta \frac{T_2}{1 + iT_2(\Delta - \delta)} . \end{aligned} \quad (1.44)$$

Rzeczywista i urojona część (1.44) są równe odpowiednio

$$\operatorname{Re}[g(\Delta)] = M_0 \sin\theta \frac{T_2}{1 + T_2^2(\Delta - \delta)^2} , \quad (1.45)$$

$$\operatorname{Im}[g(\Delta)] = -M_0 \sin\theta \frac{T_2^2(\Delta - \delta)}{1 + T_2^2(\Delta - \delta)^2} . \quad (1.46)$$

Z porównania wzorów (1.45) i (1.46) z (1.33) i (1.34) widzimy, że wzory (1.45) i (1.46) są podobne do sygnałów absorpcji $v(\Delta)$ i dyspersji $u(\Delta)$ rejestrowanych metodą fali ciągłej. Jednak, w odróżnieniu od sygnałów absorpcji i dyspersji, sygnały $\operatorname{Re}[g(\Delta)]$ i $\operatorname{Im}[g(\Delta)]$ mają centrum widm nie przy $\omega = \omega_0$, a przy $\omega = \omega_0 + \delta$.

Ze wzorów (1.43) i (1.44) wynika, że

$$\operatorname{Re}[g(\Delta)] = \int_0^{\infty} [F_1(t) \cos\Delta t + F_2(t) \sin\Delta t] dt , \quad (1.47)$$

$$\operatorname{Im}[g(\Delta)] = \int_0^{\infty} [F_2(t) \cos\Delta t - F_1(t) \sin\Delta t] dt . \quad (1.48)$$

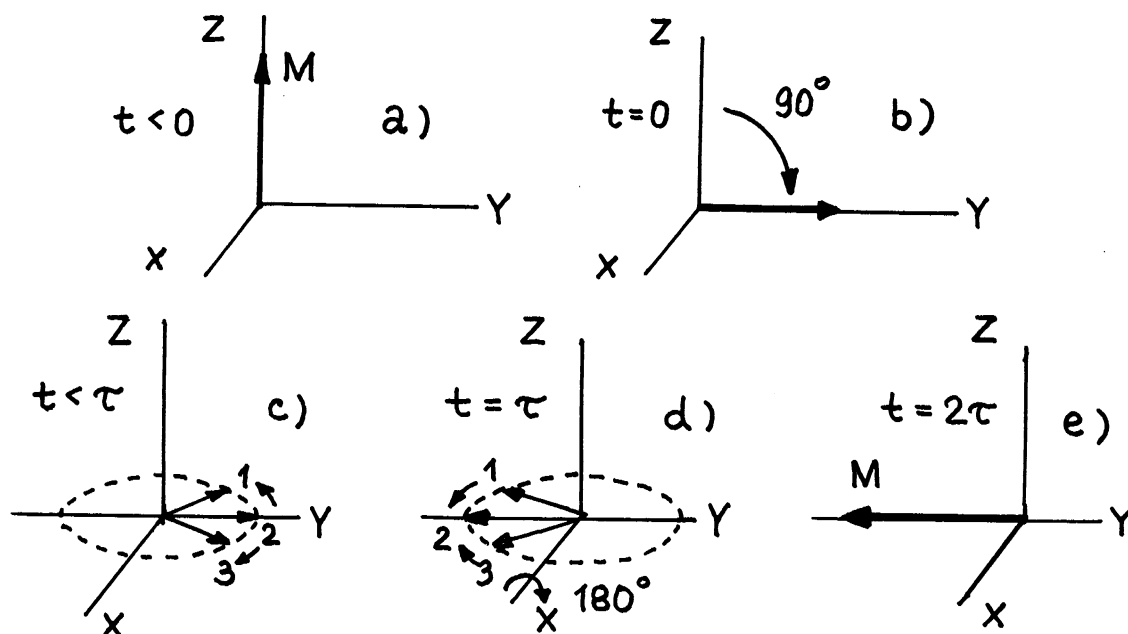
Ćwiczenia do § 1.2.8

1. Wyprowadzić wzór (1.39).
2. Udowodnić wzory (1.44), (1.45) i (1.46).

1.2.9. Echo spinowe

Niech wektor makroskopowego namagnesowania \vec{M} jest skierowany wzdłuż osi Z laboratoryjnego układu odniesienia (rys.1.8(a)). W czasie $t = 0$ na układ momentów

magnetycznych działa impuls 90° ($\omega_1 t_i = 90^\circ$), wskutek czego w chwili $t = t_i$ wektor \vec{M} będzie zwrócony w dodatnim kierunku osi Y wirującego układu współrzędnych (rys.1.8(b)).



Rys.1.8. Schemat powstawania echa spinowego w układzie momentów magnetycznych

W próbce poszczególne momenty magnetyczne znajdują się w różnych polach magnetycznych (wskutek wzajemnego oddziaływania między momentami magnetycznymi albo niejednorodności pola \vec{B}_0). Poszczególne momenty magnetyczne zaczynają się więc rozpraszać i wielkość wypadkowego makroskopowego namagnesowania poprzecznego obniża się (rys.1.8(c)). Po pewnym czasie τ na układ magnetycznych momentów działa impuls 180° i wszystkie wektory momentów magnetycznych jąder zostają zwrócone w stronę ujemnego kierunku osi Y (rys.1.8(d)). Teraz jednak ich względne przesunięcia są takie, że po czasie 2τ ogniskują się w ujemnym kierunku osi Y (rys.1.8(e)). Powstałe namagnesowanie poprzeczne jest rejestrowane w cewce odbiornika jako sygnał zwany echem spinowym [1.2,1.18,1.19,1.20,1.21].

Opiszemy teraz zjawisko spinowego echa ilościowo, wykorzystując równania Blocha. Niech względna liczba magnetycznych momentów o częstościach Larmora zawartych w

przedziale $(\omega, \omega + \delta)$ wynosi $P(\delta)d\delta$ ($\int P(\delta)d\delta = 1$). Załóżmy, że amplituda impulsu 90° , działającego na układ magnetycznych momentów przy $t = 0$ jest znacznie większa od δ / γ ($B_1 \gg \delta / \gamma$). Zatem, po działaniu pierwszego 90° impulsu, wszystkie poszczególne magnetyczne momenty są równoległe do osi Y ($\vec{B}_1 \parallel \vec{i}$). W chwili t po działaniu impulsu 90° wektor poprzecznego makroskopowego namagnesowania w wirującym układzie współrzędnych ma składowe (patrz wzór (1.37))

$$M_x = M_0 \exp(-t/T_2) \int P(\delta) \sin(\delta t) d\delta ,$$

$$M_y = M_0 \exp(-t/T_2) \int P(\delta) \cos(\delta t) d\delta .$$

Zapiszemy sumę M_x i M_y w postaci

$$M(t) = M_y(t) + iM_x(t) =$$

$$= M_0 \exp(-t/T_2) \int P(\delta) \exp(i\delta t) d\delta . \quad (1.49)$$

Niech w chwili $t = \tau$ na układ spinowy działa mocny ($B_1 \gg \delta / \gamma$) impuls 180° (rys.1.8(d)). Wskutek działania impulsu składowa M_x wektora poprzecznego namagnesowania nie zmienia się ($\vec{B}_1 \parallel \vec{i}$), natomiast składowa M_y zmieni swój znak. Więc, po działaniu impulsu 180° , zespolone poprzeczne namagnesowanie (1.49) przyjmuje postać

$$M(\tau) = -M_y(\tau) + iM_x(\tau) =$$

$$= -M_0 \exp(-\tau/T_2) \int P(\delta) \exp(-i\delta \tau) d\delta . \quad (1.50)$$

W chwili t po działaniu impulsu 180° wielkość $M(t)$, zgodnie z (1.49), jest równa

$$M(t + \tau) = M(\tau) \exp(-t/T_2) \int P(\delta) \exp(i\delta t) d\delta . \quad (1.51)$$

Po podstawieniu (1.50) do (1.51) otrzymujemy

$$M(t) = -M_0 \exp[-(\tau + t)/T_2] \cdot \int P(\delta) \exp[i\delta (t - \tau)] d\delta . \quad (1.52)$$

Ze wzoru (1.52) wynika, że przy $t = \tau$ wielkość

$$\int P(\delta) \exp[i\delta (t - \tau)] d\delta$$

nie zależy od δ , a więc przy $t = \tau$ wielkość $M(\tau + t)$ osiąga maksimum, co rejestruje się jako sygnał echa spinowego. Przy $t = \tau$, jak widać ze wzoru (1.52)

$$M(2\tau) = -M_0 \exp(-2\tau / T_2).$$

Natężenie sygnału echa spinowego zależy więc tylko od czasu poprzecznej (spin-spin) relaksacji T_2 , tj. nieodwracalnego spadku namagnesowania poprzecznego w czasie 2τ .

Warto zauważyć, że niejednorodność stałego pola magnetycznego \vec{B}_0 nie ma żadnego wpływu na natężenie sygnału spinowego echa, ponieważ udział niejednorodności pola B_0 w procesie rozpraszania się poszczególnych magnetycznych momentów (rys.1.8(c)) jest wyeliminowany wskutek ponownego ogniskowania w chwili $t = 2\tau$ (rys.1.8(d.c)).

Ćwiczenia do § 1.2.9

1. Echo spinowe można również zaobserwować, jeżeli drugi impuls 180° obraca momenty magnetyczne wokół osi Y ($\vec{B}_1 \parallel \vec{j}$; sekwencja impulsów $90_x^0 - \tau - 180_y^0 - t$). Udowodnić to twierdzenie, wykorzystując równania Blocha.
2. Wykorzystując równania Blocha, rozpatrzeć sygnał, powstający przy działaniu na układ magnetycznych momentów sekwencją impulsów $90_x^0 - \tau - 90_{x,y}^0 - t$.

1.3 Elementarny opis magnetycznego rezonansu według zasad mechaniki kwantowej

1.3.1. Poziomy energetyczne i przejścia rezonansowe

Energia momentu magnetycznego \vec{M} w magnetycznym polu o indukcji \vec{B}_0 wynosi

$$E = -\vec{M} \cdot \vec{B}_0. \quad (1.53)$$

Ponieważ w mechanice kwantowej moment pędu \vec{J} jest operatorem $\vec{J} = (h/2\pi)\vec{I}$, gdzie \vec{I} - operator spinowy, a moment magnetyczny \vec{M} związany jest z momentem pędu równaniem (1.1), znajdujemy ze wzoru (1.53) następujący operator energii albo hamiltonian

$$\frac{h}{2\pi} H = -\frac{h}{2\pi} \gamma (\vec{I} \cdot \vec{B}_0). \quad (1.54)$$

Tu i wszędzie dalej hamiltoniany będziemy wyrażali w jednostkach stałej Plancka (tj. będziemy zakładali, że $\hbar/2\pi = 1$).

Jeżeli stałe pole magnetyczne \vec{B}_0 jest skierowane wzdłuż osi Z , to hamiltonian H , jak wynika z (1.54), przyjmuje postać

$$H = -\gamma B_0 I_z .$$

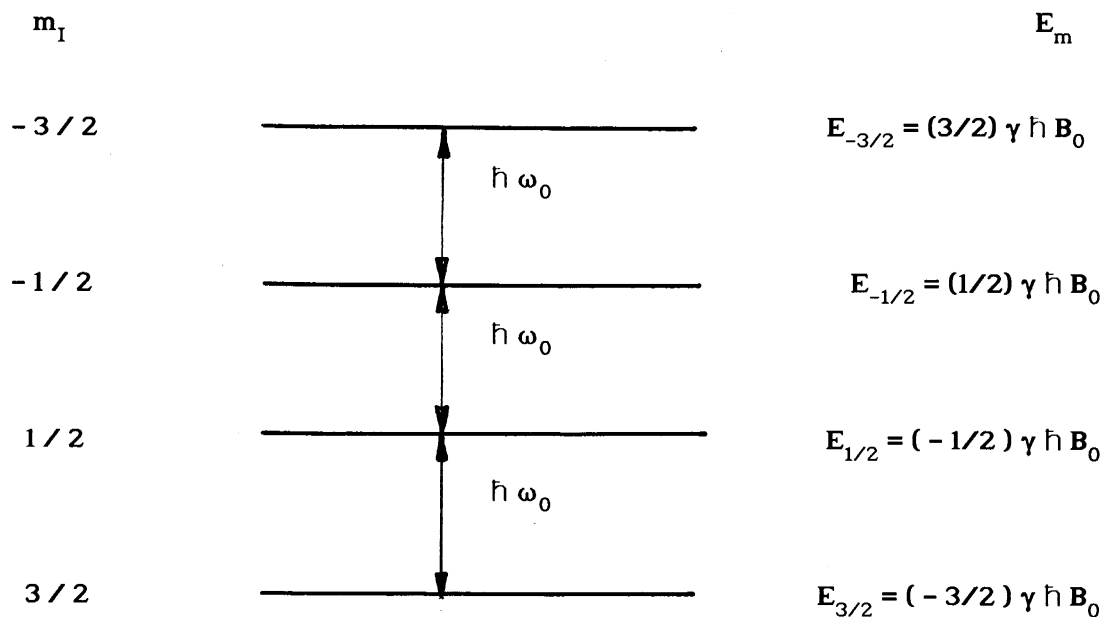
Zgodnie z teorią kwantów dozwolone wartości zetowej składowej spinowego operatora są równe

$$m_I = I, I - 1, \dots, -I + 1, -I ,$$

gdzie I jest spinem jądra.

Więc dozwolone wartości energii momentu magnetycznego \vec{M} w stałym polu magnetycznym – energetyczne poziomy jądra, są równe (rys.1.9)

$$E_m = -\gamma \frac{\hbar}{2\pi} B_0 m_I . \quad (1.55)$$



Rys.1.9. Schemat poziomów energetycznych jądra o spinie $I = 3/2$ ($\gamma > 0$)

Zgodnie z prawami fizyki statystycznej obsadzenia poziomów energetycznych E_m podlegają statystyce Boltzmann'a i

$$P_m \sim \exp\left(-\frac{E_m}{kT}\right), \quad (1.56)$$

gdzie P_m - obsadzenie energetycznego poziomu E_m , a k - stała Boltzmann, T - temperatura próbki.

Stosując (1.56) dla wypadkowego namagnesowania wzdłuż osi Z ($\vec{B}_0 \parallel \vec{k}$) w stanie równowagi termicznej, otrzymujemy

$$M_Z = \sum_{m_I=-I}^{m_I=I} \gamma \frac{h}{2\pi} m_I P_m. \quad (1.57)$$

Poziomy energetyczne E_m jądra można badać, podobnie jak w przypadku poziomów energetycznych atomów, drobin, ciał stałych itp., poprzez wytwarzanie i obserwacje przejść spektroskopowych pomiędzy nimi.

W przypadku MRJ przejście z jednego poziomu (rys.1.9) na drugi jest równoznaczne ze zmianą orientacji momentu magnetycznego. Energia zaś winna być emitowana bądź absorbowana pod postacią promieniowania elektromagnetycznego.

Zgodnie z regułą wyboru

$$\Delta m_I = \pm 1, \quad (1.58)$$

w pierwszym przybliżeniu rachunku zaburzeń przejścia spektroskopowe mogą zachodzić tylko między sąsiednimi poziomami energetycznymi. Częstość promieniowania definiuje różnica energii między sąsiednimi stanami i zgodnie z (1.55) wyraża się następującym wzorem

$$\omega_0 = \frac{2\pi}{h}(E_{m-1} - E_m) = \gamma B_0. \quad (1.59)$$

Zmienne pole magnetyczne o częstości ω_0 indukuje przejścia absorpcyjne (tj. z niższego poziomu na wyższy) z takim samym prawdopodobieństwem jak przejścia emisyjne (tj. z wyższego poziomu na niższy). Żadne z tych przejść nie jest uprzywilejowane. Ponieważ niższy poziom, zgodnie z (1.56), jest liczniej obsadzony, przejścia absorpcyjne będą zachodzić częściej niż przejścia emisyjne. W rezultacie pochłaniana jest energia przyłożonego zmiennego pola magnetycznego. Taka rezonansowa absorpcja energii pola radiowego rejestruje się właśnie jako sygnał magnetycznego rezonansu.

Ćwiczenia do § 1.3.1

1. Wykazać, że w stanie równowagi termicznej namagnesowanie \vec{M}_0 w przybliżeniu wysokich temperatur opisuje wzór Langevina-Curie

$$\vec{M}_0 = \chi_0 \vec{H}_0 ,$$

gdzie $\vec{H}_0 = \vec{B}_0 / \mu_0$, μ_0 - przenikalność magnetyczna próżni, a

$$\chi_0 = \frac{\gamma^2 (h/2\pi)^2 \mu_0 N_0}{3kT} I(I+1)$$

- podatność magnetyczna. Tu I - spin jądra, $N_0 = N/V$ oznacza liczbę jąder zawartą w 1 m³ próbki.

2. Obliczyć χ_0 dla protonów wody w temperaturze pokojowej.

1.3.2. Relacje Kramersa-Kroniga

Jeżeli oś cewki odbiornika umieszczona wzdłuż osi Y laboratoryjnego układu odniesienia, to zgodnie z (1.38), dla obliczenia SEM indukcji wystarczy znać tylko zależność od czasu składowej M_x namagnesowania makroskopowego \vec{M} . Zgodnie z (1.30) M_x jest związana ze składowymi M_x i M_y wektora \vec{M} w wirującym układzie współrzędnych równaniem

$$M_x = M_x \cos(\omega t) - M_y \sin(\omega t) . \quad (1.60)$$

Niech zmienne magnetyczne pole jest spolaryzowane liniowo wzdłuż osi X

$$B_x(t) = 2B_1 \cos(\omega t) . \quad (1.61)$$

Zapiszmy składowe M_x i M_y (równania (1.27) i (1.28)) w postaci

$$M_x = 2B_1 \chi'(\omega) , \quad M_y = 2B_1 \chi''(\omega) , \quad (1.62)$$

gdzie

$$\chi'(\omega) = \frac{M_0 \gamma}{2} \cdot \frac{\Delta \cdot T_2^2}{1 + \omega_1^2 T_1 T_2 + \Delta^2 T_2^2} , \quad (1.63)$$

$$\chi''(\omega) = \frac{M_0 \gamma}{2} \cdot \frac{T_2}{1 + \omega_1^2 T_1 T_2 + \Delta^2 T_2^2} . \quad (1.64)$$

Uwzględniając (1.62), wzór (1.60) możemy zapisać w postaci

$$M_x = [\chi'(\omega) \cos(\omega t) - \chi''(\omega) \sin(\omega t)] \cdot 2B_1 . \quad (1.65)$$

Przedstawiając zmienne magnetyczne pole w postaci

$$B_x = 2B_1 \cdot \text{Re}[e^{i\omega t}] \quad (1.66)$$

i wprowadzając pojęcie zespolonej dynamicznej podatności magnetycznej

$$\chi(\omega) = \chi'(\omega) + i\chi''(\omega) , \quad (1.67)$$

otrzymujemy ze wzoru (1.65) następujący wzór na M_x

$$M_x = 2B_1 \cdot \text{Re}[\chi(\omega)e^{i\omega t}] . \quad (1.68)$$

Część rzeczywista podatności $\chi'(\omega)$ nosi nazwę dyspersji, a wielkość $\chi''(\omega)$ - absorpcji.

Ze wzoru (1.68) wynika, że M_x jest wprost proporcjonalna do zewnętrznego radiowego pola magnetycznego wzbudzającego układ magnetycznych momentów.

Jeżeli odpowiedź układu jest wprost proporcjonalna do zewnętrznego pobudzenia, to mówimy, że mamy do czynienia z układem liniowym. Efekty nieliniowe w magnetycznym rezonansie stają się istotne jedynie wtedy, gdy mamy do czynienia ze zjawiskiem nasycenia, tj. przy absorpcji dużych mocy pola radiowego. Zwykle w MRJ liniowa teoria odpowiedzi bardzo dobrze opisuje rzeczywistość.

Dla liniowych układów podatność $\chi(\omega)$ nie zależy od wielkości zmiennej pola magnetycznego $2B_1$ i, jak widać ze wzoru (1.67), zawiera część rzeczywistą $\chi'(\omega)$ i część urojoną $\chi''(\omega)$. Dla podatności liniowych układów istnieje wiele ważnych twierdzeń. Jedno z nich, znane jako relacje Kramersa-Kroniga, wiąże ze sobą rzeczywiste i urojone części dynamicznej podatności $\chi(\omega)$

$$\chi'(\omega) = \frac{1}{\pi} P \int_{-\infty}^{\infty} \frac{\chi''(\omega')}{\omega' - \omega} d\omega' , \quad (1.69)$$

$$\chi''(\omega) = -\frac{1}{\pi} P \int_{-\infty}^{\infty} \frac{\chi'(\omega')}{\omega' - \omega} d\omega' , \quad (1.70)$$

gdzie P oznacza wartości główne całek

$$P \int_{-\infty}^{\infty} \frac{f(\omega')}{\omega' - \omega} d\omega' =$$

$$= \lim_{\varepsilon \rightarrow 0} \left[\int_{-\infty}^{\omega - \varepsilon} \dots d\omega' + \int_{\omega + \varepsilon}^{\infty} \dots d\omega' \right].$$

Jak wynika ze wzorów (1.63) i (1.64), $\chi'(\omega)$ proporcjonalna jest do sygnału dyspersji, a $\chi''(\omega)$ proporcjonalna jest do widma pochłaniania (absorpcji).

Jeżeli różnica $|\omega - \omega_0|$ jest znacznie większa niż szerokość widma absorpcji, to dla $\chi'(\omega)$ bardzo dobrym przybliżeniem jest

$$\chi'(\omega) = \frac{1}{\pi(\omega_0 - \omega)} \int_{-\infty}^{\infty} \chi''(\omega') d\omega'. \quad (1.71)$$

Więc „skrzydła” sygnału dyspersji $\chi'(\omega)$ zanikają powoli jako $(\omega_0 - \omega)^{-1}$.

Ćwiczenia do § 1.3.2

1. Wykazać, że funkcję

$$\chi''(\omega) = A[\delta(\omega - \Omega) - \delta(\omega + \Omega)]$$

$$\chi'(\omega) = \frac{A}{\pi} \left[\frac{1}{\Omega - \omega} + \frac{1}{\Omega + \omega} \right]$$

są związane między sobą relacjami Kramersa-Kroniga. Tu $\delta(x)$ -delta funkcja Diraca.

2. Wykazać, że funkcje (1.45) i (1.46) spełniają relacje Kramersa-Kroniga.